



Учет аэрозольного эффекта в численных экспериментах с использованием системы СОSMO-Ru-ART

Кирсанов А.А., Чубарова Н.Е., Варенцов М.И., Ривин Г.С., Ольчев А.В.



Актуальность моделирования атмосферного аэрозоля и газовых примесей







Взаимодействие меж ду аэрозолем, газовыми примесями и компонентами Земной Системы

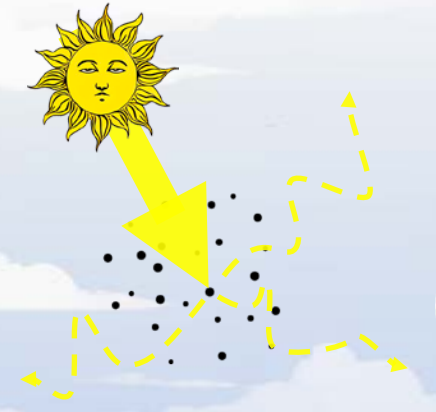


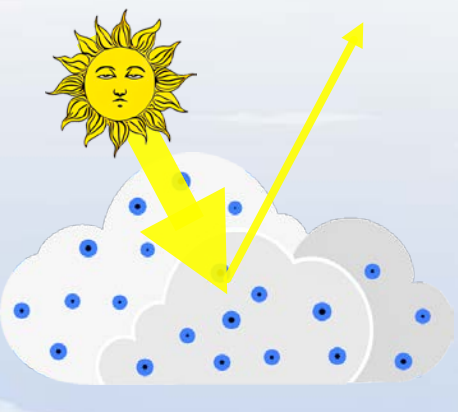




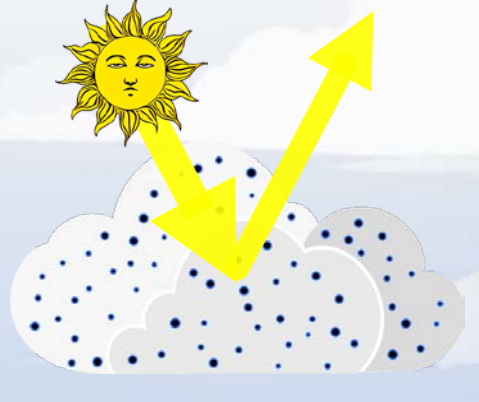
Взвешенные частицы в атмосфере: Влияние на погоду и климат







Больше ядер конденсации



Прямой эффект:

Поглощение и рассеяние радиации

1-й непрямой эффект (альбедный): Увеличение концентрации облачных капель

2-й непрямой эффект: Подавление мороси, Увеличение высоты и времени жизни облака

Полупрямой эффект:

Испарение облачных капель

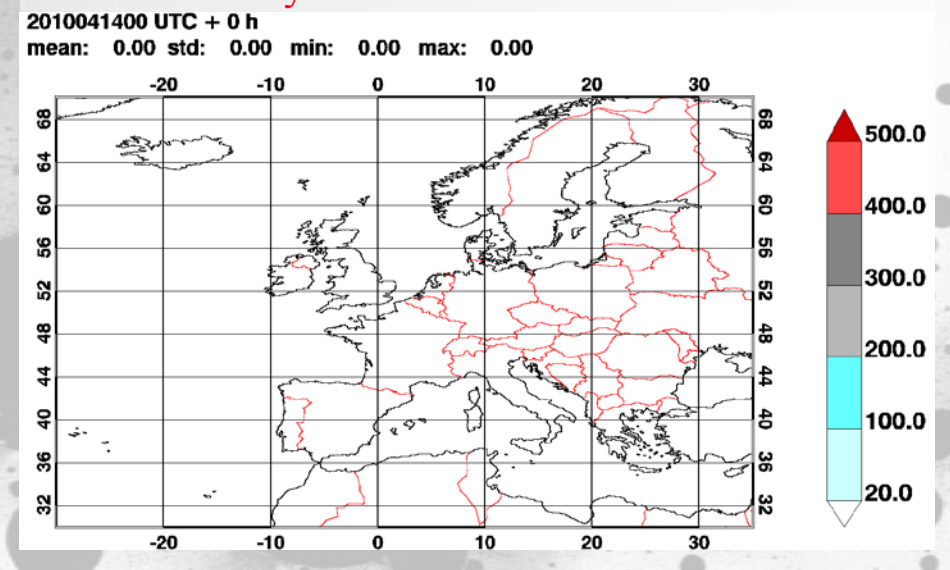


Моделирование случаев с высоким содержанием аэрозоля в атмосфере



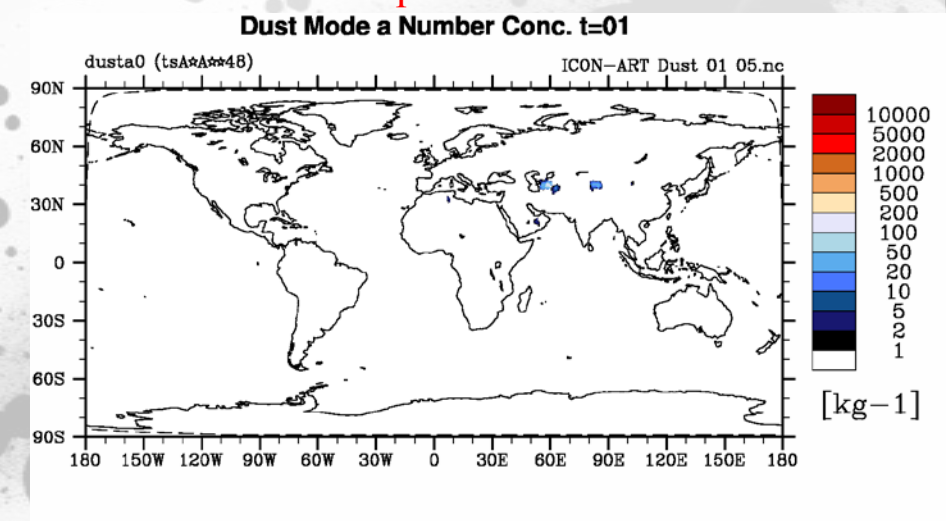
Извержение вулкана Эйяфьядлайёкю дль,

вулканический пепел



ICON-ART, мкг/м 3 , шаг сетки ~ 40 км, высота уровня ~ 2300 м

Моделирование распространения минеральной пыли



ICON-ART, число частиц пыли

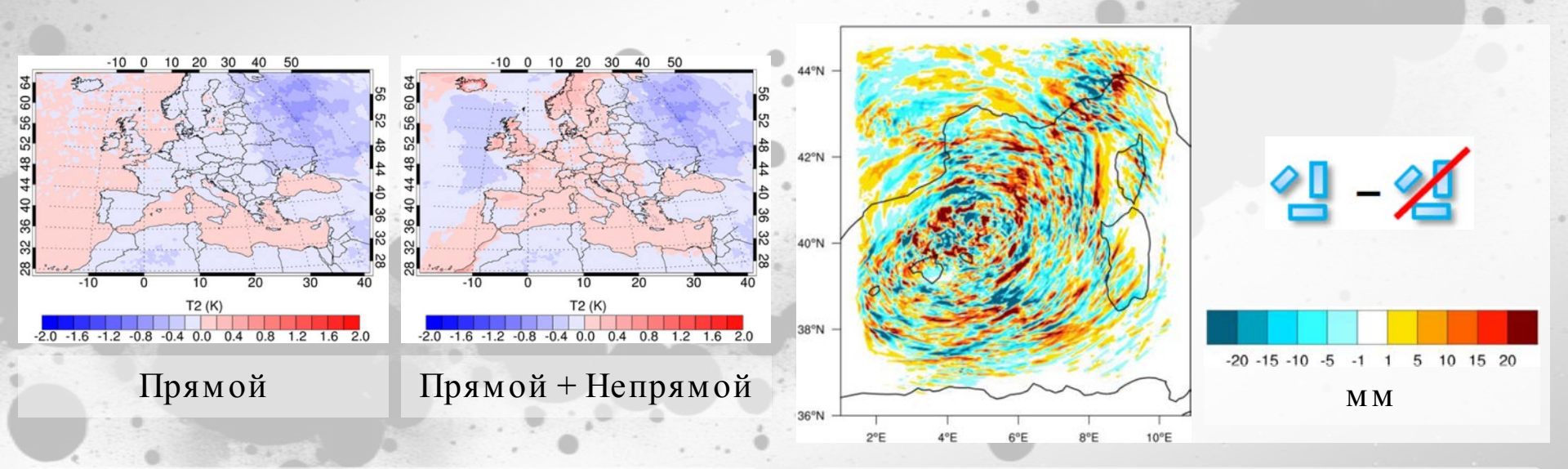


Моделирование случаев с высоким содержанием аэрозоля в атмосфере



Эффект на температуру на уровне 2 м лесных пожаров 2010 года

Влияние на осадки морской соли (6.-7.11.11)



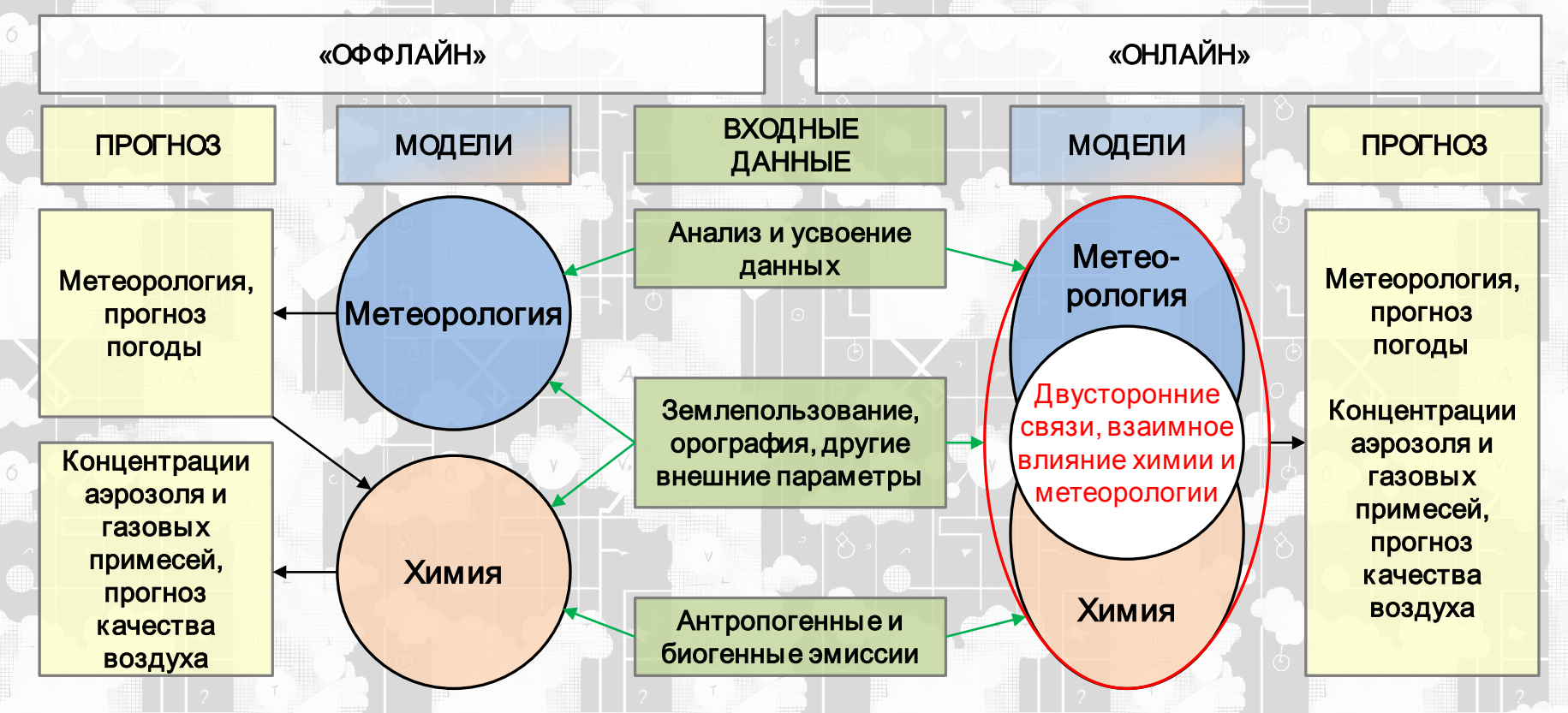
(Kong et al., 2015) https://doi.org/10.1016/j.atmosenv.2014.09.020

(Bernhard Vogel, 2013, KIT/DWD)



Совместный расчет атмосферной динамики и атмосферной химии







COSMO-ART





COnsortium for Small-scale MOdelling

Aerosols and Reactive Trace gases

ART

метеорология



атмосферная химия



COSMO-Ru-ART







- негидростатическая мезометеорологическая модель
- химические реакции
- фотодиссоциация
- коагуляция
- конденсация
- нуклеация
- осаждение
- вымывание
- обратные связи:
 - о коэффициент ослабления, альбедо однократного рассеяния, фактор асимметрии передаются для расчета потоков радиации
 - о число частиц и массовая концентрация передаются для учета ядер конденсации



COSMO-Ru-ART







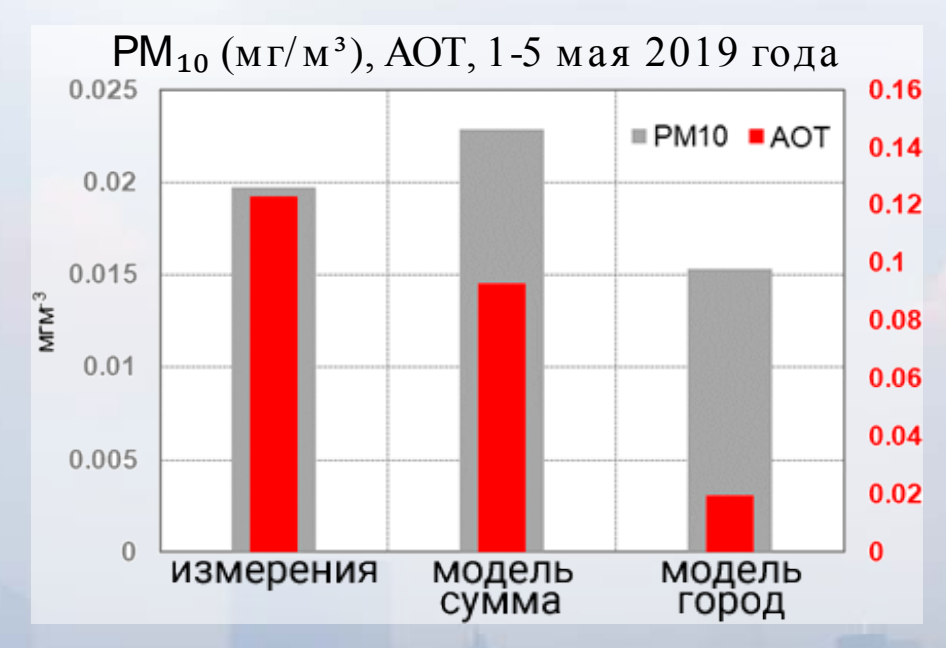
Антропогенные Эмиссии

Эмиссии от Лесных пожаров

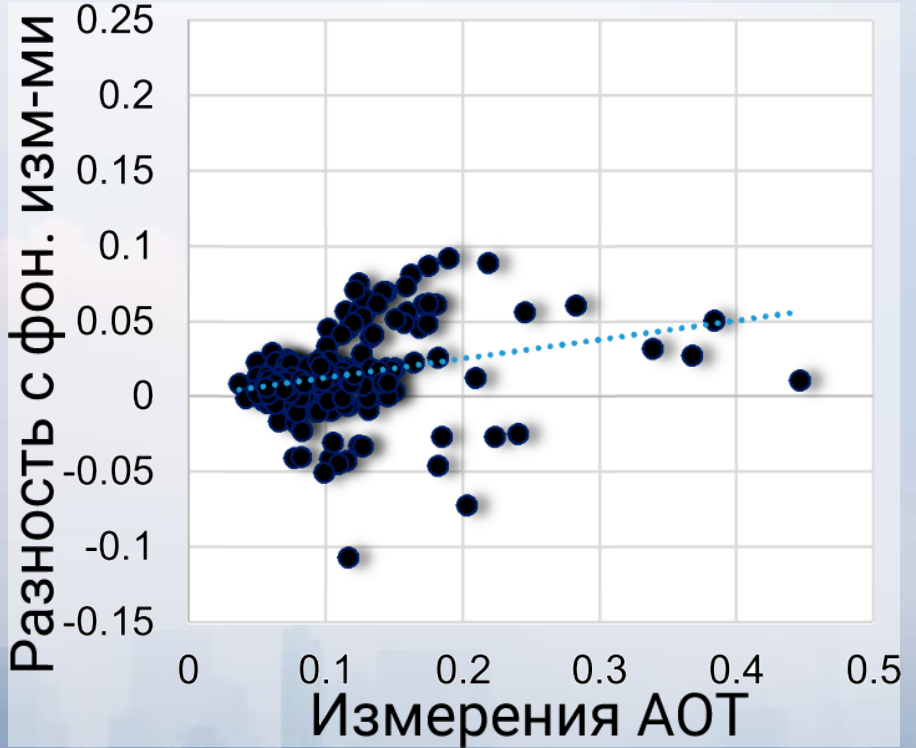


Исследования свойств аэрозоля: Метеорологическая Обсерватория МГУ





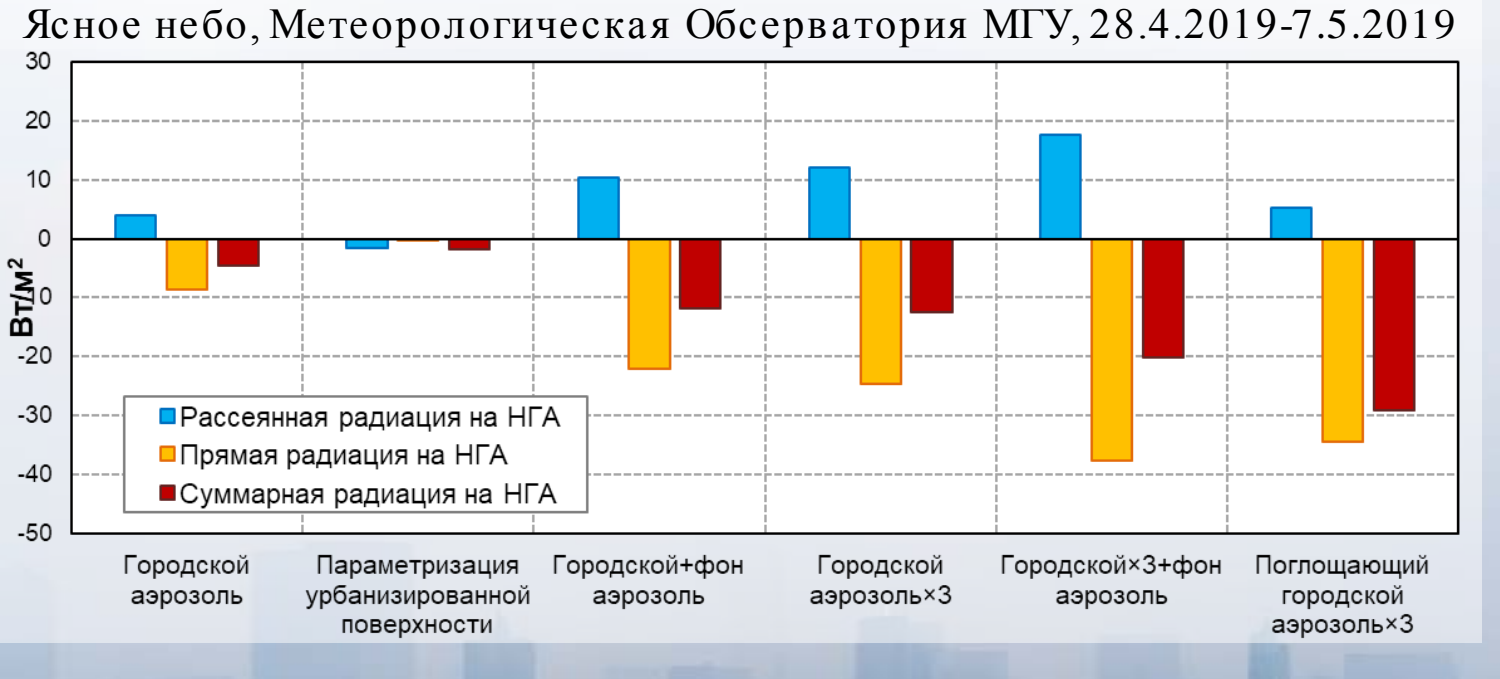
Город значительно влияет на приземные концентрации аэрозоля, но его влияние на АОТ (Аэрозольную Оптическую Толщину) не определяющее





Средние различия в прямой, рассеянной, суммарной радиации на ниж ней границе атмосферы в различных экспериментах





Под влиянием атмосферного аэрозоля:

- Снижение приходящей прямой коротковолновой радиации
- Повышение приходящей рассеянной радиации
- При повышении доли поглощающего аэрозоля меньше рассеянной радиации

TERRA_URB впервые запущена совместно с блоком ART (COSMO 6.0)



Средние различия в радиационном балансе на ниж ней/верхней границе атмосферы в различных экспериментах





влиянием

- коротковолнового радиационного баланса на НГА
- повышении поглощающего

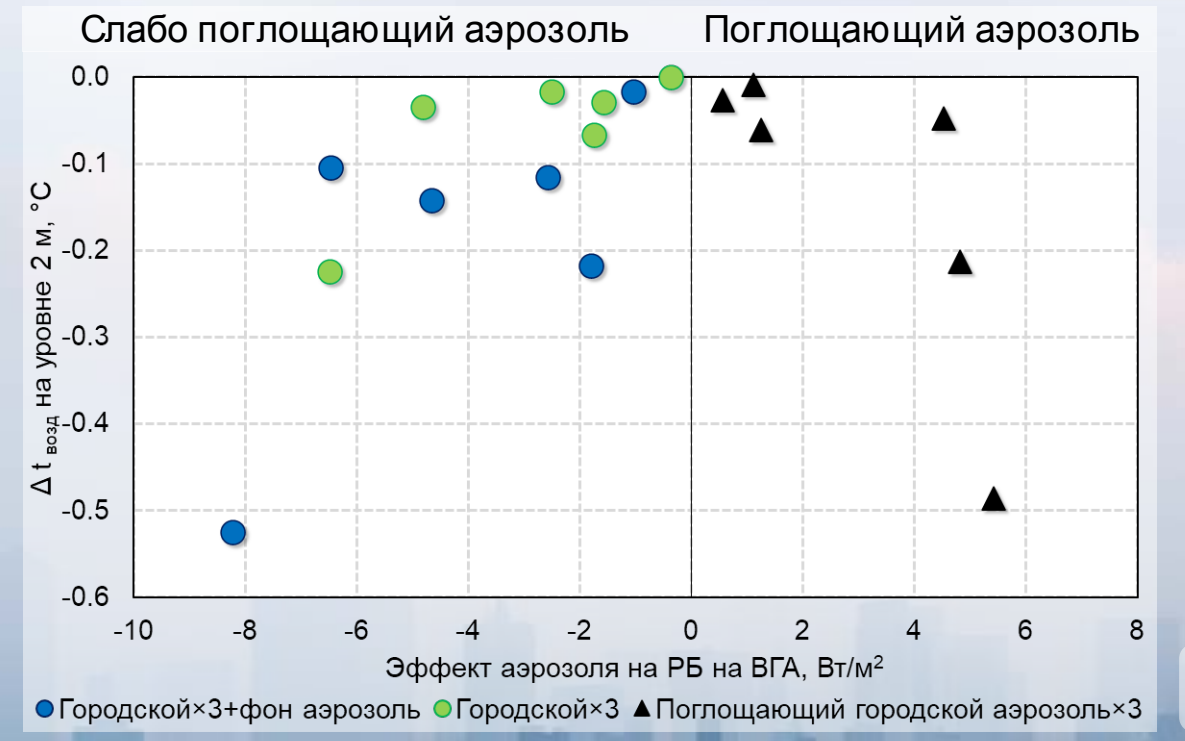
коротковолновый РБ на ВГА повышается

TERRA_URB впервые запущена совместно с блоком ART (COSMO 6.0)



Аэрозольный эффект на температуру воздуха на уровне 2 м





- При повышенной доли поглощающего аэрозоля его эффект повышает значения радиационного баланса на верхней границе атмосферы
- Как слабо поглощающий аэрозоль, так и при повышенной доли черного углерода аэрозольный эффект приводит к снижению температуры воздуха на уровне 2 м

Ясное небо, Метеорологическая Обсерватория МГУ, 28.4.2019-7.5.2019



17 июня

2010

Пожары лета 2010 года на территории ЦФО



Москва, ул. Айвазовского



7 августа 2010



Расчет эмиссий от пожаров



$$E = \varphi \cdot \alpha \cdot FRP$$

MODIS FRP
(Fire Radiative Power)

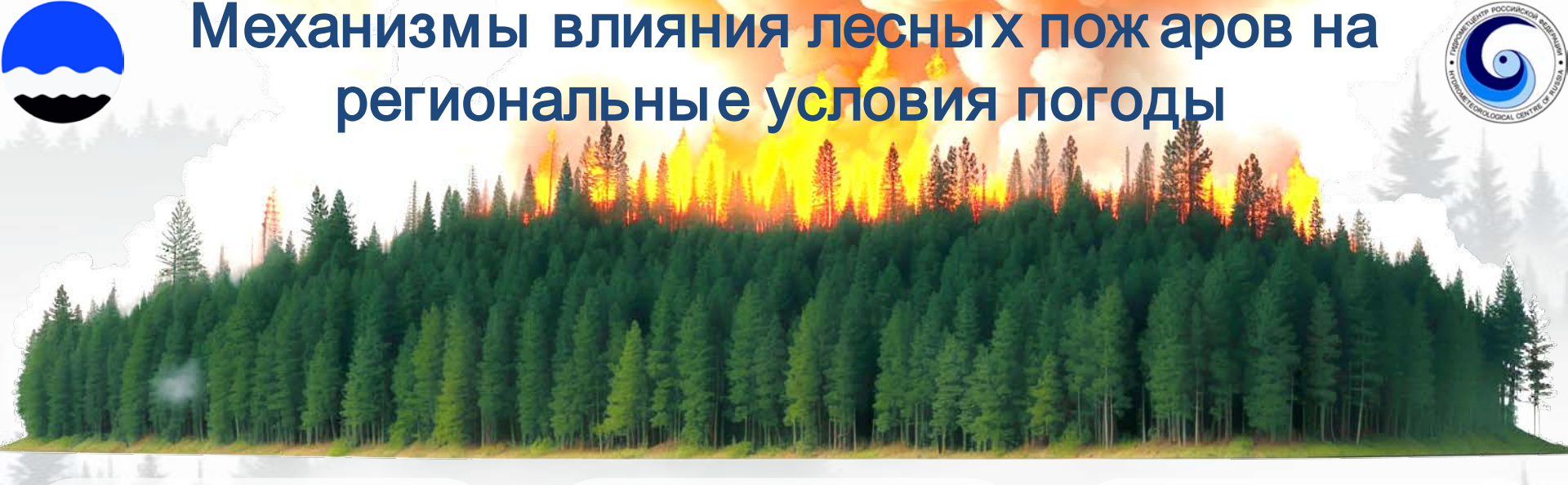
Тип земной поверхности MODIS

Локализация лесных пожаров и скорость сгорания биомассы (α·FRP)

Эмиссионные коэффициенты (факторы эмиссии, *ф*)

Пирогенные эмиссии, связанные с лесными пожарами (*E*)

- Данные MODIS FRP (Fire Radiative Power) появляются в открытом доступе
- Задержка появления данных как правило менее суток, что делает их актуальными для прогноза
- Возможно использование данных для любой территории
- Очаги лесных пожаров могут недооцениваться при задымлении и облачности
- Встречаются «ложные тревоги» из-за работы промышленности



Выделение тепла и влаги во время пожара:

- сверхвысокие приземные температуры
- конвективные потоки
- высота выброса аэрозоля

Изменение свойств подстилающей поверхности:

- повреждение растительности
- изменение альбедо

Выброс дымового аэрозоля в атмосферу:

- поглощение потоков радиации
- ядра конденсации



Сценарии численных экспериментов



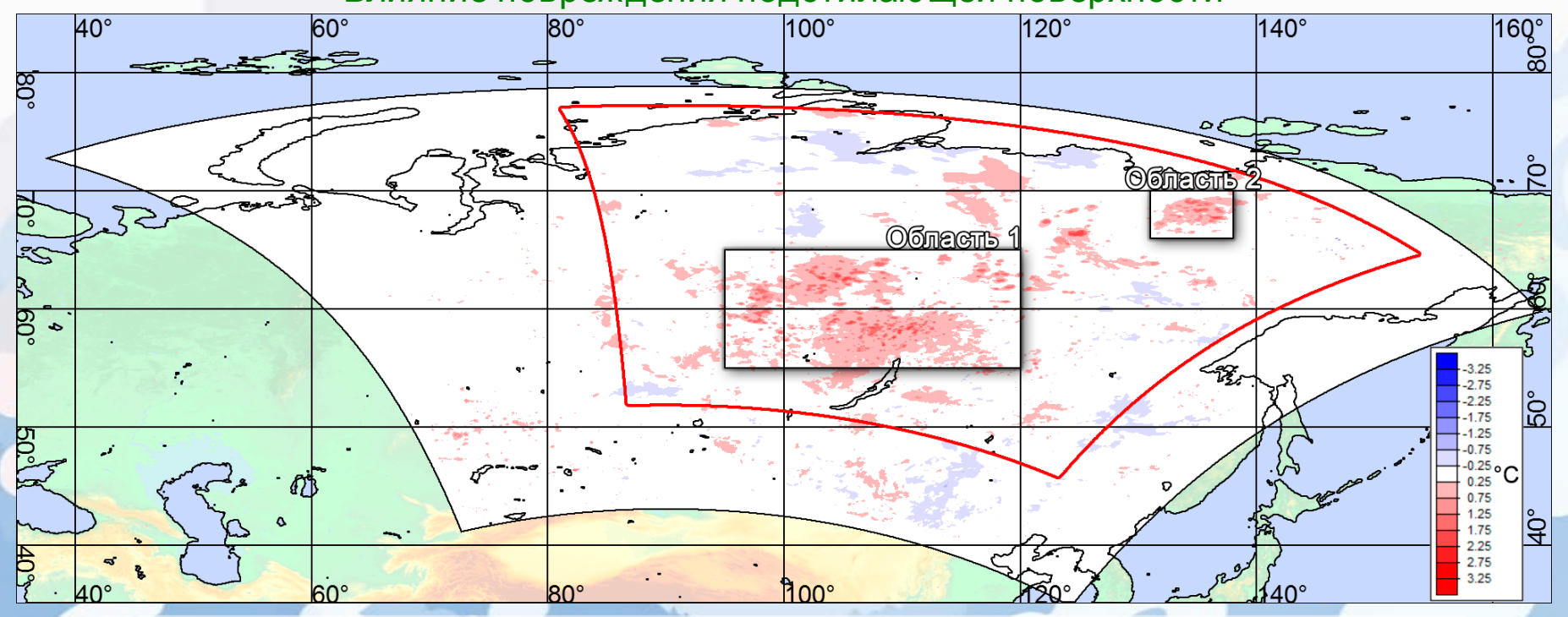
Контрольный эксперимент	Лесны е пож ары (без ART)	Лесные пож ары (с ART)
Нет изменений	Влияние на	Влияние на
подстилающей	подстилающую	подстилающую
поверхности.	поверхность:	поверхность и дымовой
		аэрозоль:
Нет дымового аэрозоля.	• сокращение лесного	• сокращение лесного
	покрова до нуля	покрова до нуля
Стандартные настройки	• уменьшение листового	• уменьшение листового
запуска модели.	индекса (LAI) до нуля	индекса (LAI) до нуля
	• снижение альбедо	• снижение альбедо
	поверхности до 10%	поверхности до 10%
	Не учитывается дымовой	• влияние ды мового
11	аэрозоль.	аэрозоля



Температура на уровне 2 м (средняя за период), разность лесные пожары (без ART) – контрольный эксперимент



Влияние повреждения подстилающей поверхности



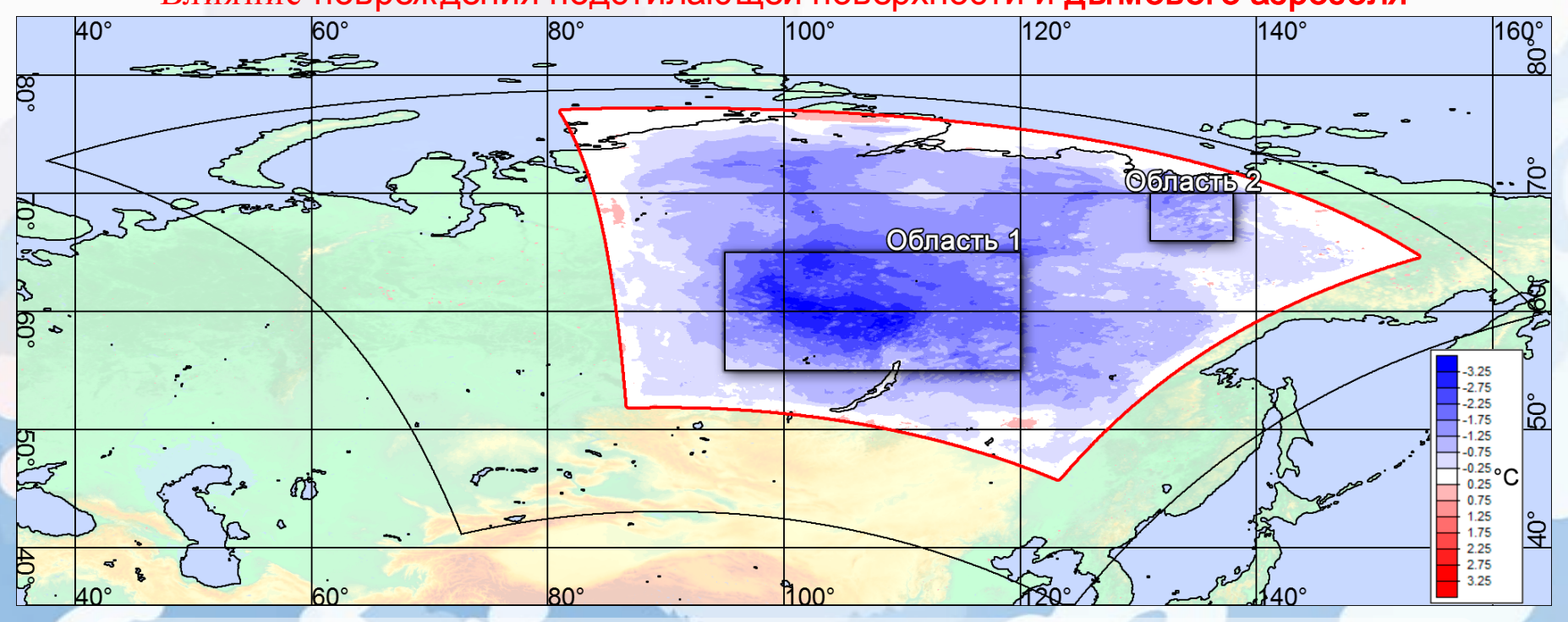
Область 1: +0.2°С (+1.1°С, выгоревшие ячейки); Область 2: +0.2°С (+0.8°С, выгоревшие ячейки) Основные различия наблюдаются на участках, пострадавших от лесных пожаров



Температура на уровне 2 м (средняя за период), разность лесные пожары (с ART) – контрольный эксперимент



Влияние повреждения подстилающей поверхности и дымового аэрозоля



Область 1: -2.0°С (-1.4°С, выгоревшие ячейки); Область 2: -1.1°С (-0.2°С, выгоревшие ячейки) Основные различия наблюдаются в областях наибольшей аэрозольной оптической толщины



Воспроизведенное моделью влияние лесных пож аров на погодные условия







Воспроизводимое моделью влияние аэрозоля на осадки





Больше ядер конденсации

Капли меньшего размера при той же водности облака

Возрастает оптическая толщина облака

Отложенные или не выпавшие осадки

Размер капель продолжает расти?

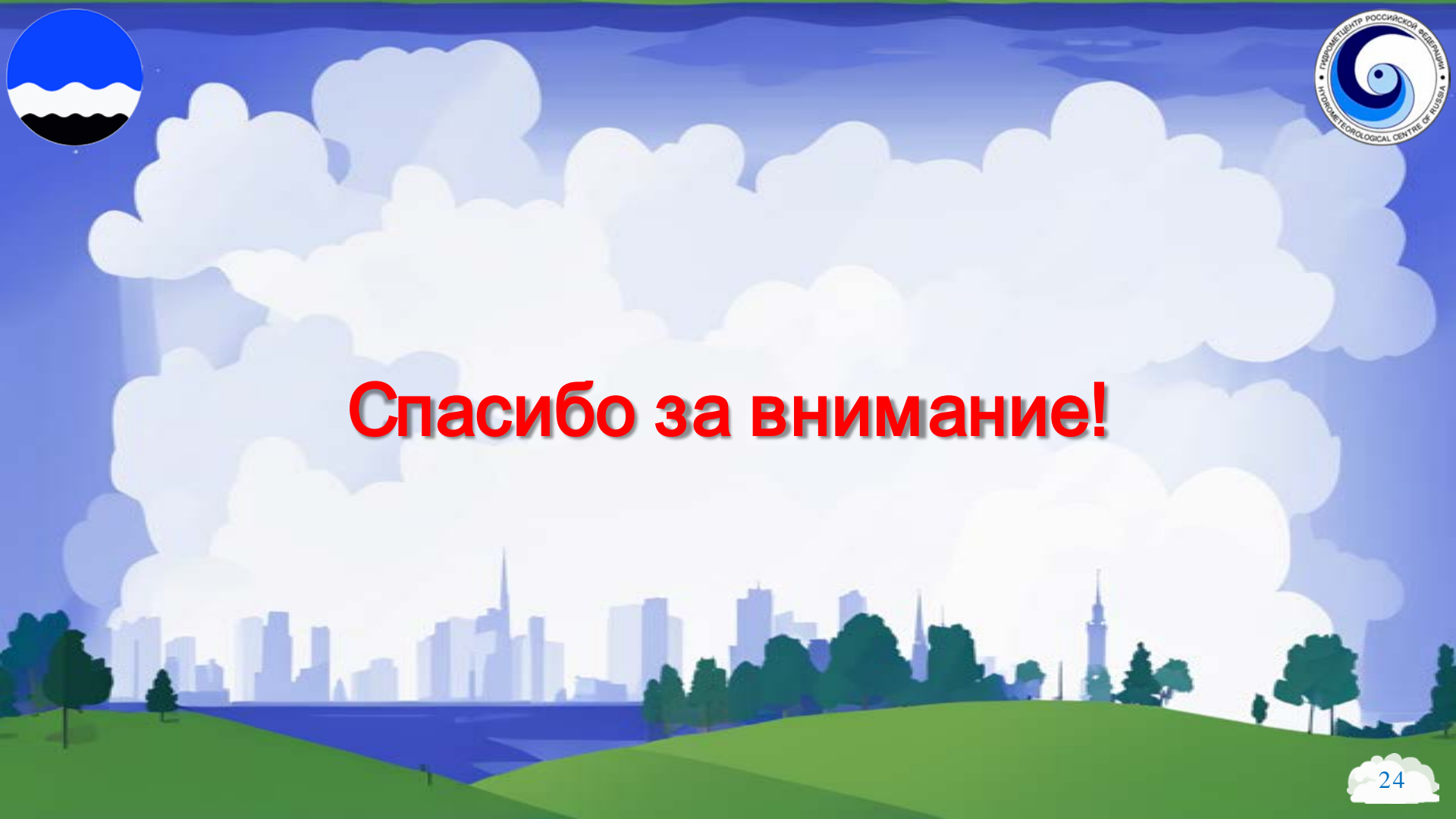
Более интенсивные осадки



Заключение



- Атмосферный аэрозоль поглощает и рассеивает приходящую солнечную радиацию (прямой эффект), а также оказывает влияние на облачные характеристики, оптическую плотность облаков (непрямой эффект), эти эффекты воспроизводятся в модели COSMO-ART
- Расчеты системы COSMO-Ru-ART показывают, что в Москве фоновый аэрозоль оказывает большее влияние на аэрозольную оптическую толщину, чем городской аэрозоль, в то время как на приземные концентрации PM_{10} город оказывает большее влияние
- Как поглощающий, так и слабо поглощающий аэрозоль приводят к снижению приземной температуры
- Расчеты показали, что в случае интенсивных лесных пожаров 2019 года в Сибири атмосферный аэрозоль снижает приземную температуру сильнее, чем она повышается вследствие повреждения растительности



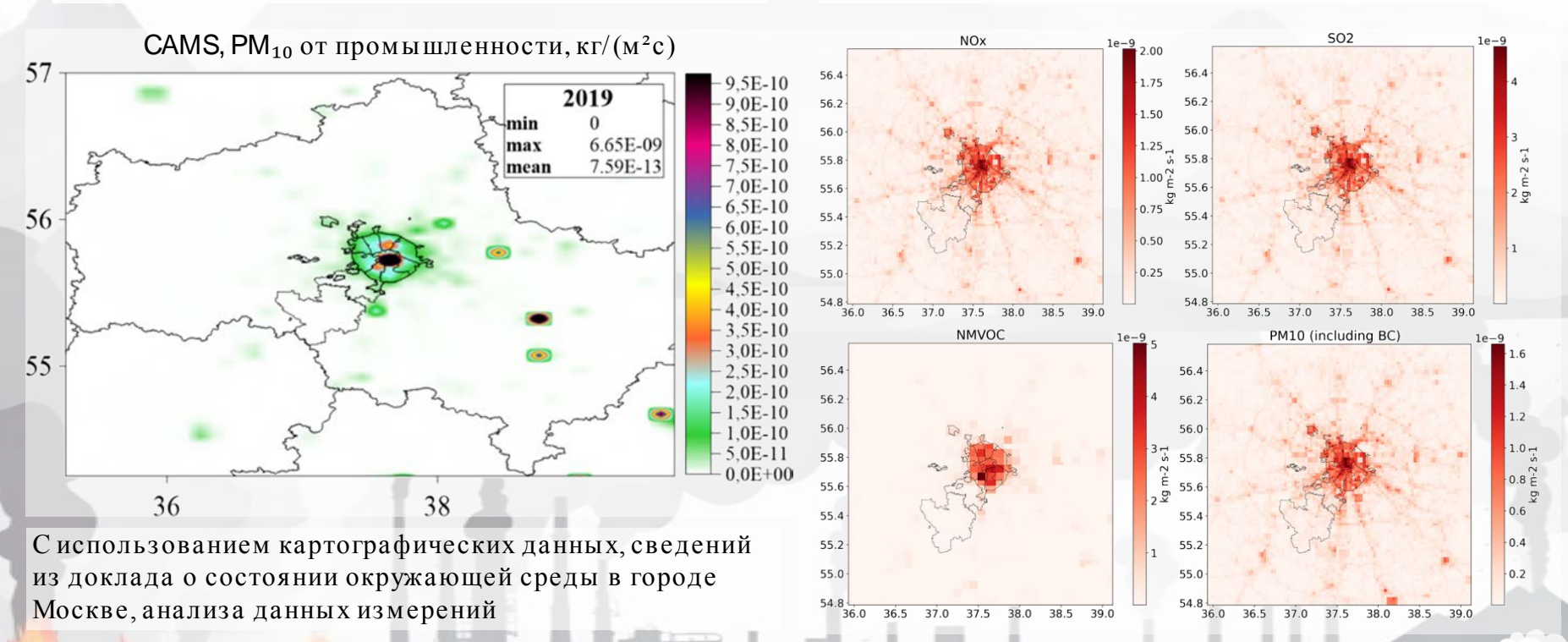


Уточнение инвентаризаций эмиссий



ПОСЛЕ

ДО

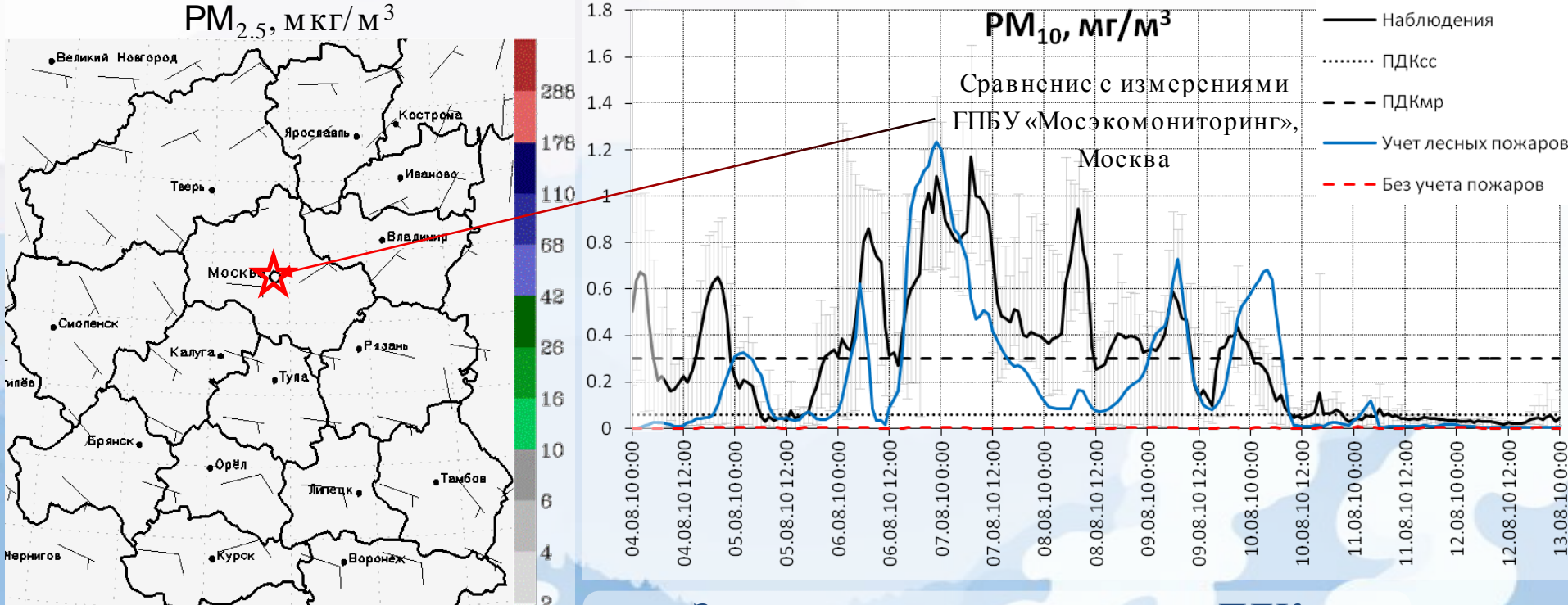




Бенгород

Пожары лета 2010 года на территории ЦФО





Значительные превышения ПДК

воспроизведены моделью





Сценарии численных экспериментов



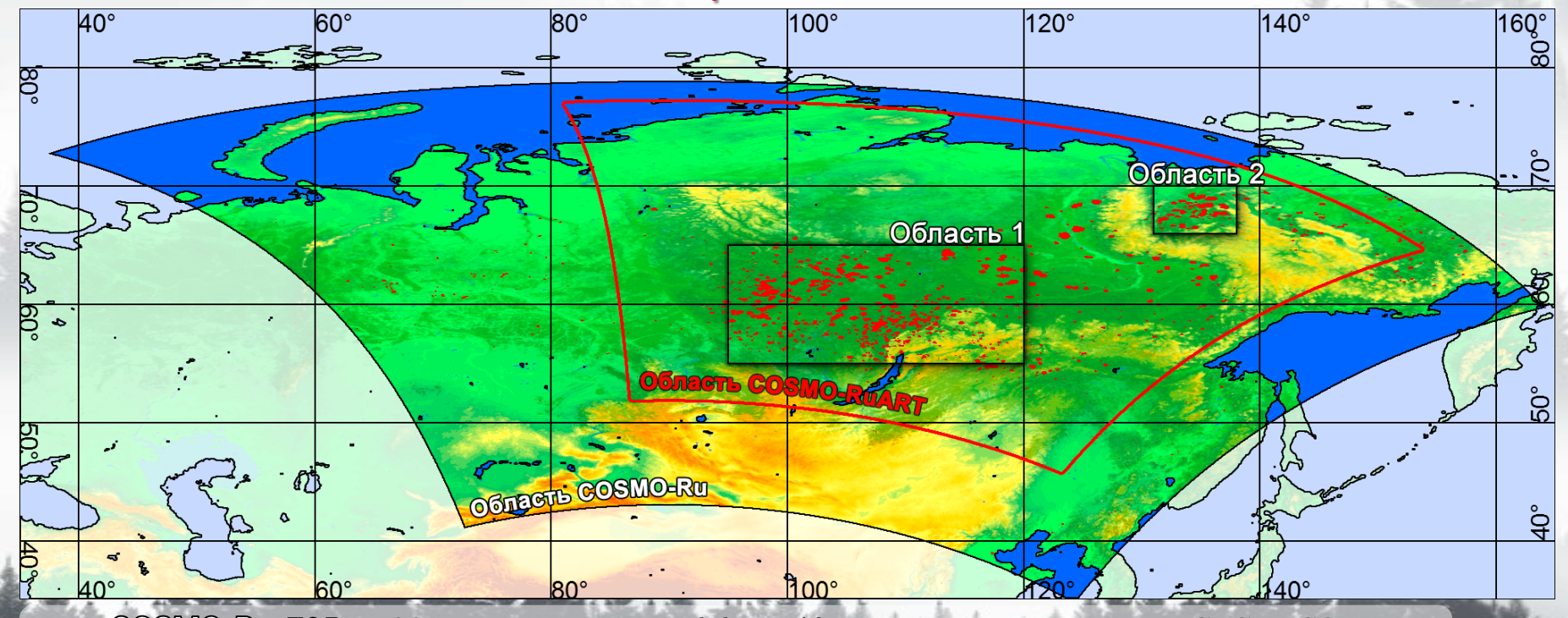




Влияние лесных пож аров на погодные условия: пож ары 2019 года в Сибири



1 – 14 августа 2019 года, Красные точки на карте – очаги лесных пожаров по данным MODIS: «выгоревшие ячейки»

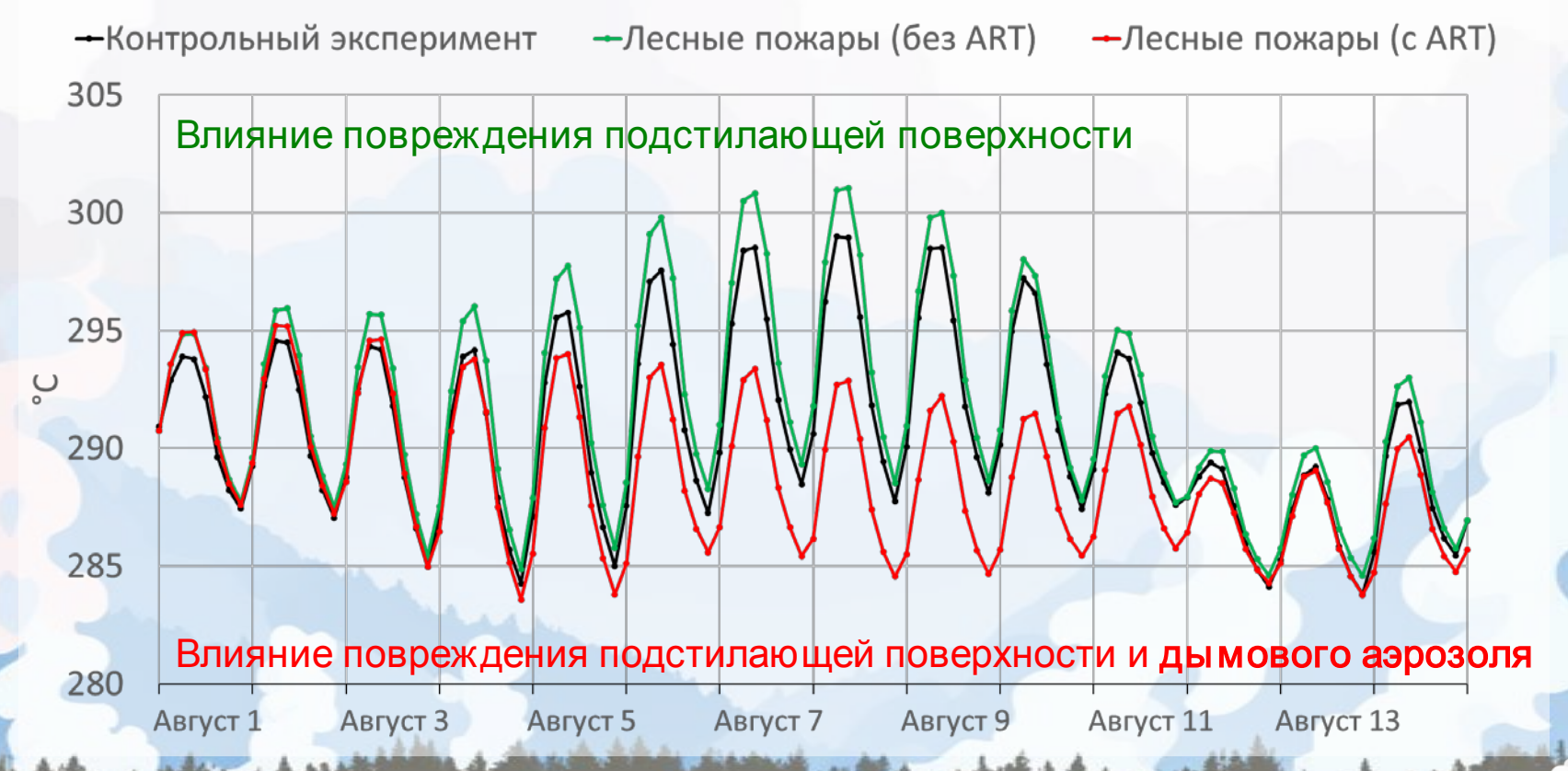


COSMO-Ru: 735 × 600 узлов, шаг сетки 6,6 км, 40 уровней по вертикали, ICBC – ICON **COSMO-RuART**: 420 × 420 узлов, шаг сетки 6,6 км, 40 уровней по вертикали, ICBC – COSMO-Ru



Температура на уровне 2 м, Область 1 (только выгоревшие ячейки)







Температура на уровне 2 м, Область 1 (все ячейки)

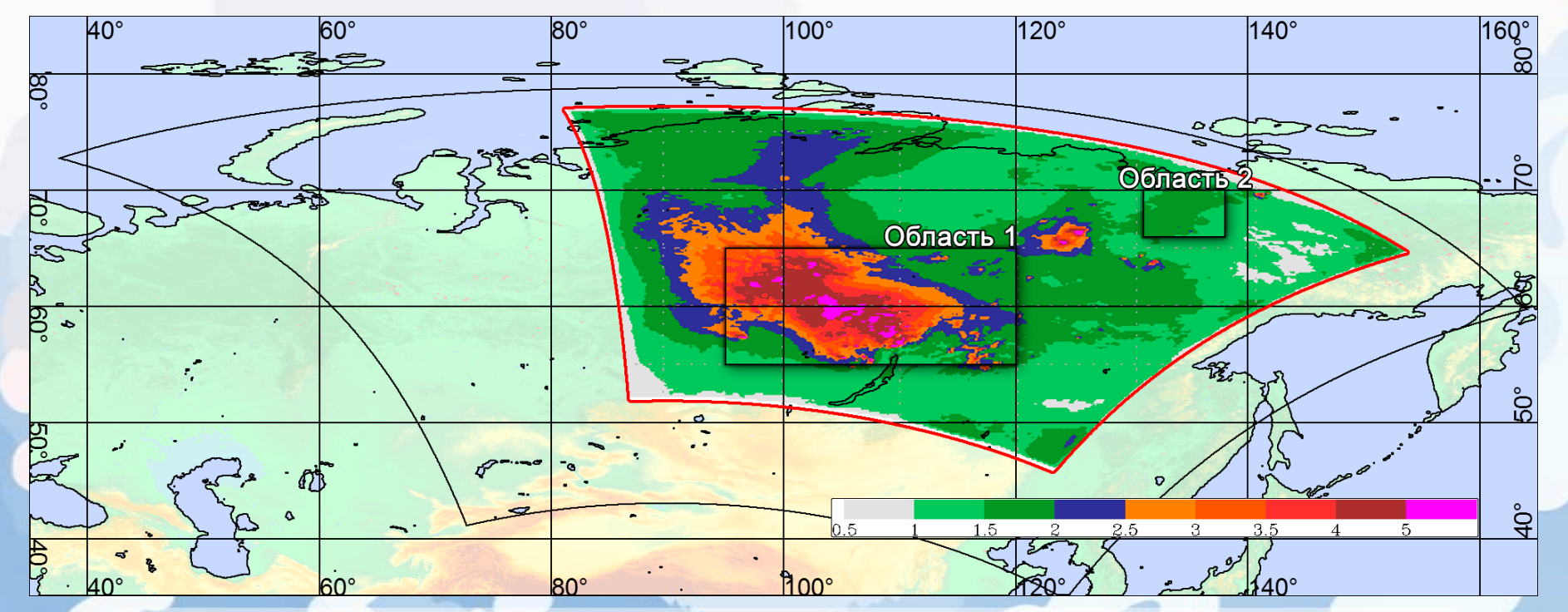






Рассчитанная COSMO-RuART аэрозольная оптическая толщина в исследуемый период





Особенно высокие значения в Области 1



Температура точки росы на уровне 2 м, Область 1 (только выгоревшие ячейки)







Температура точки росы на уровне 2 м, Область 1 (все ячейки)







Поток скрытого тепла (вверх), Область 1 (только выгоревшие ячейки)

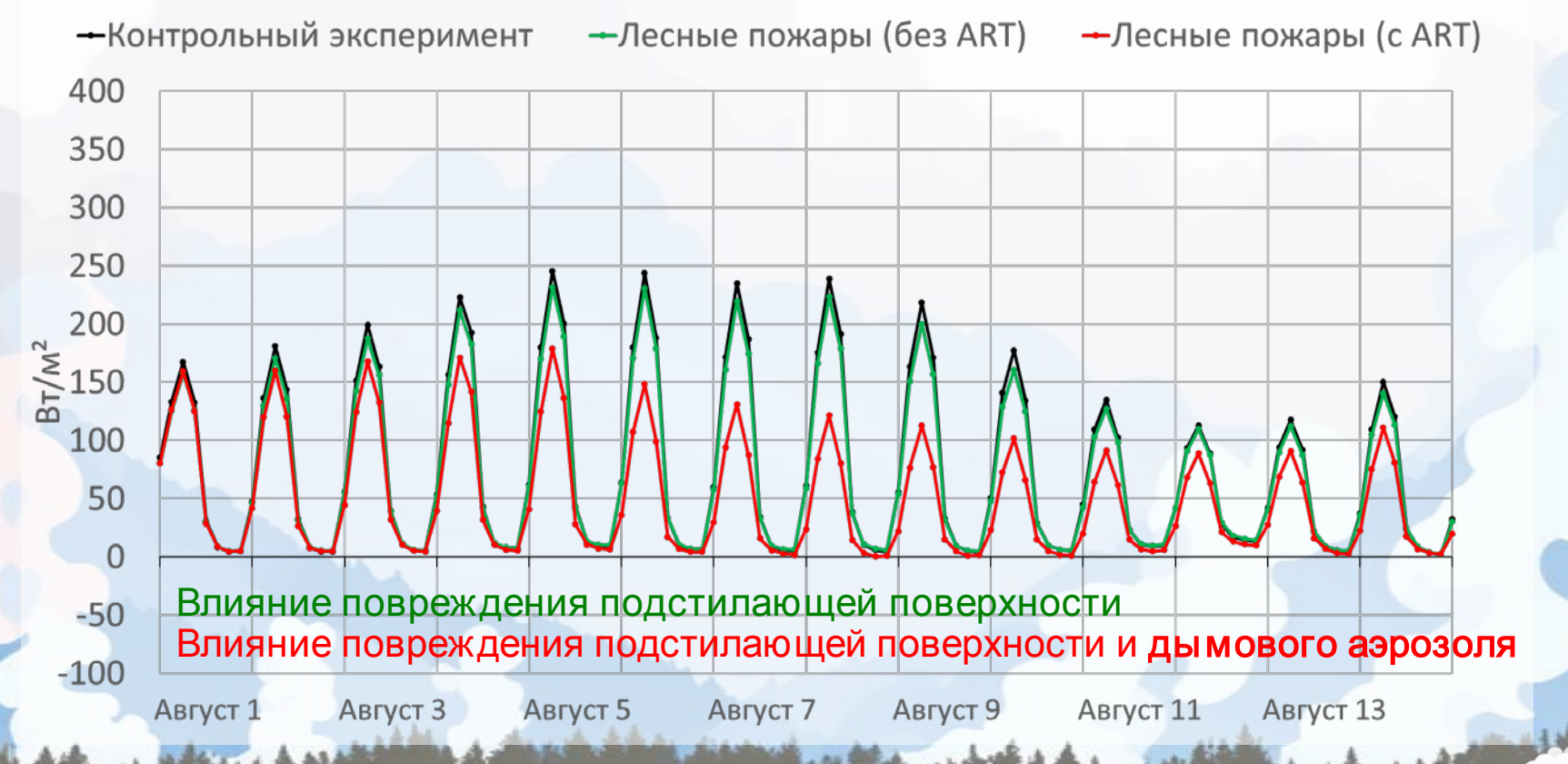






Поток скрытого тепла (вверх), Область 1 (все ячейки)







Поток явного тепла (вверх), Область 1 (все ячейки)

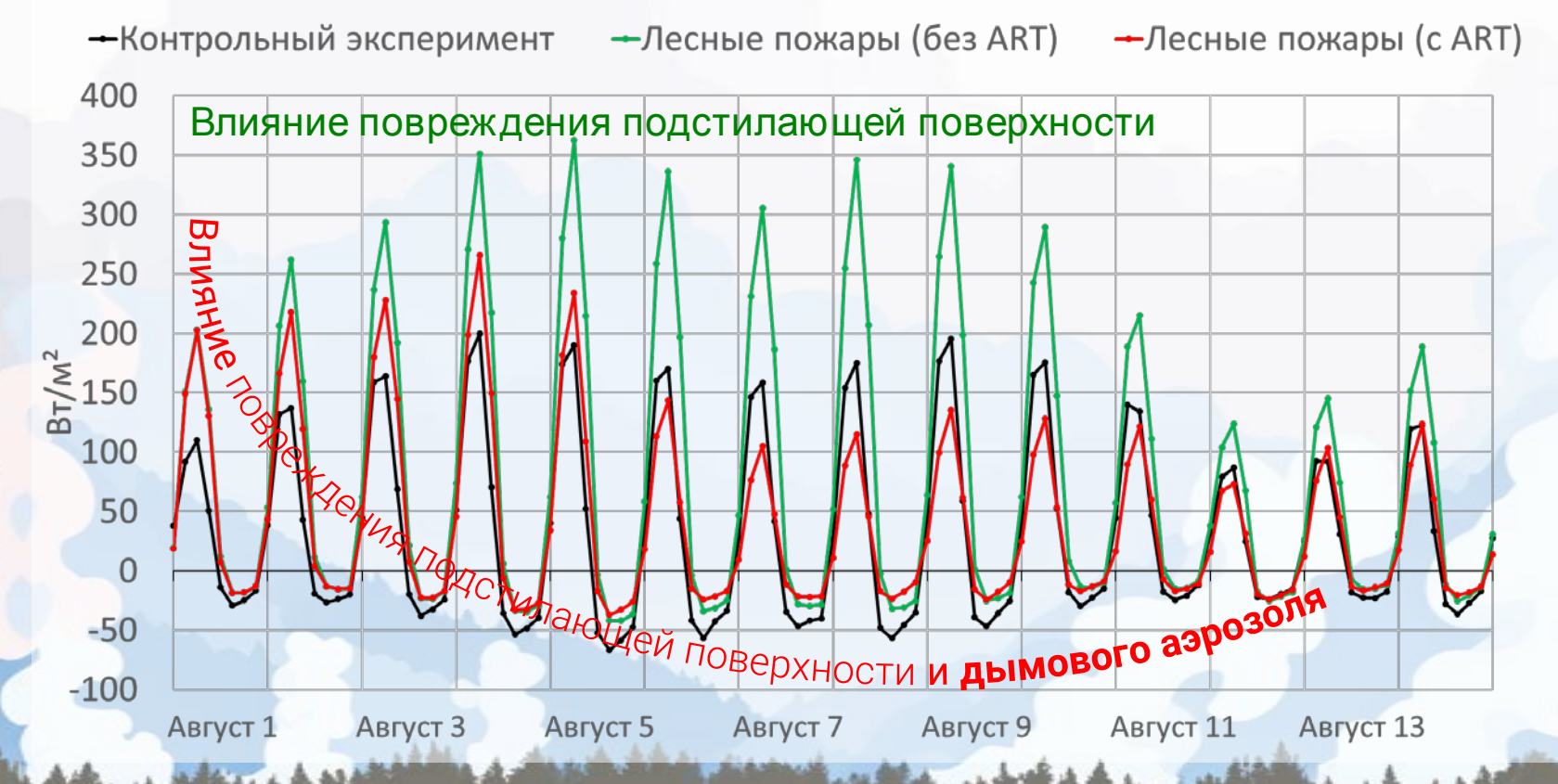






Поток явного тепла (вверх), Область 1 (только выгоревшие ячейки)



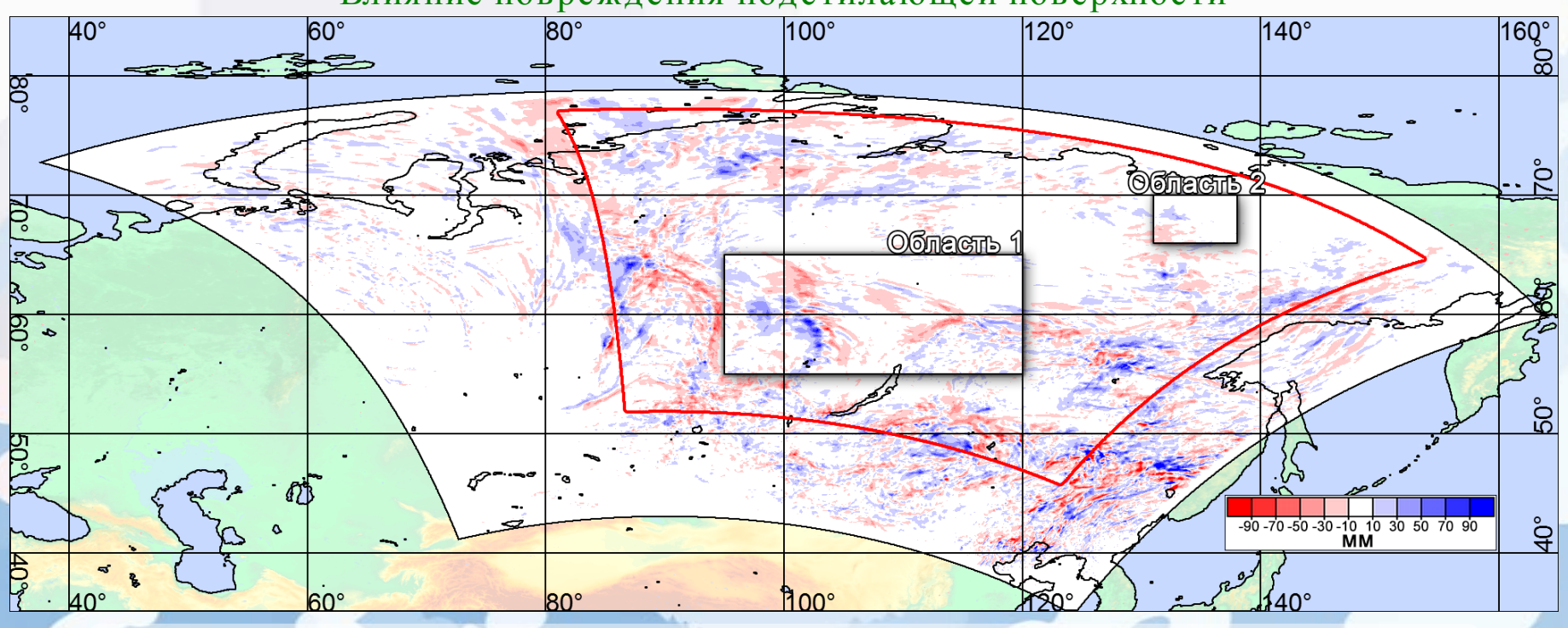




Осадки (сумма за исследуемый период), разность лесные пожары (без ART) – контрольный эксперимент



Влияние повреждения подстилающей поверхности



Область 1: -0.5 мм (-2%, +1.6 мм над выгоревшими ячейками)

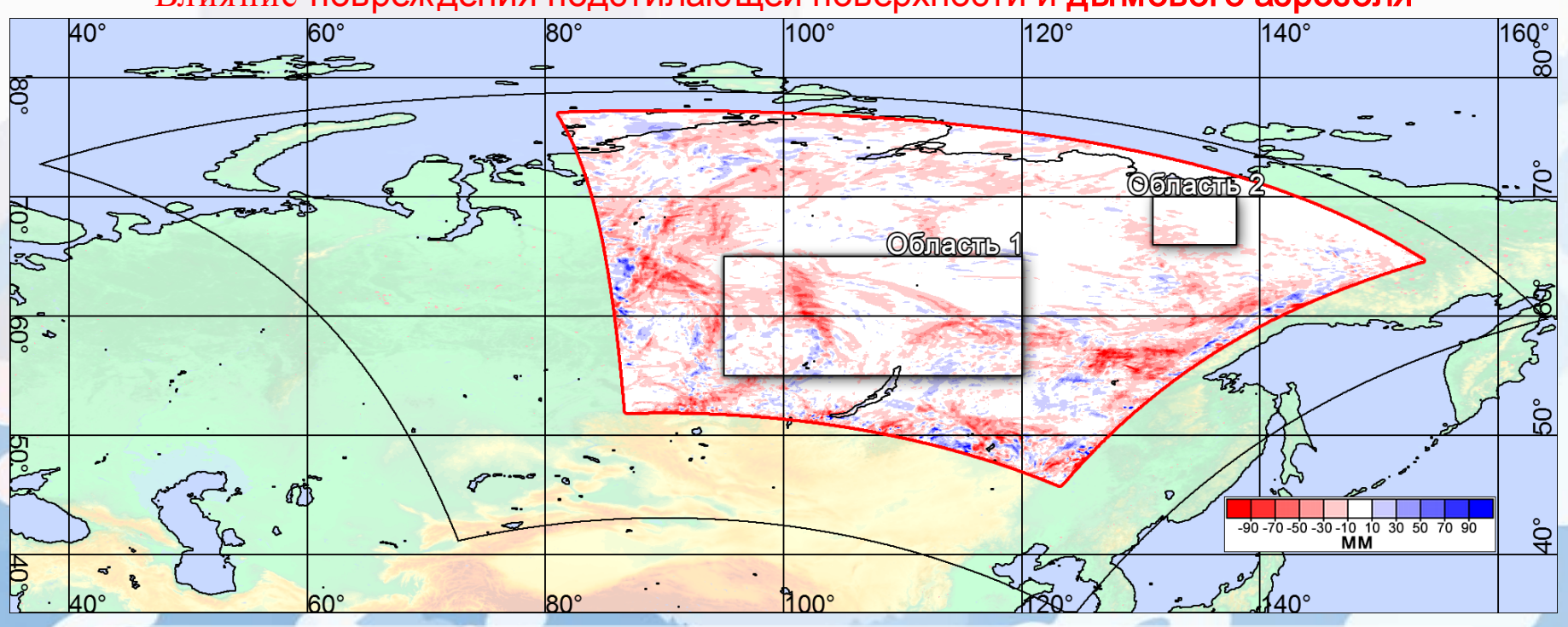
Область 2: -0.2 мм (-3%, +1.1 мм над выгоревшими ячейками)



Осадки (сумма за исследуемый период), разность лесные пожары (с ART) – контрольный эксперимент



Влияние повреждения подстилающей поверхности и дымового аэрозоля



Область 1: -7.5 мм (-25%, -8.5 мм над выгоревшими ячейками)

Область 2: -5.1 мм (-67%, -3.5 мм над выгоревшими ячейками)





- Baklanov, A., Schlünzen, K., Suppan, P., Baldasano, J., Brunner, D., Aksoyoglu, S., Carmichael, G., Douros, J., Flemming, J., Forkel, R., Galmarini, S., Gauss, M., Grell, G., Hirtl, M., Joffre, S., Jorba, O., Kaas, E., Kaasik, M., Kallos, G., Kong, X., Korsholm, U., Kurganskiy, A., Kushta, J., Lohmann, U., Mahura, A., Manders-Groot, A., Maurizi, A., Moussiopoulos, N., Rao, S. T., Savage, N., Seigneur, C., Sokhi, R. S., Solazzo, E., Solomos, S., Sørensen, B., Tsegas, G., Vignati, E., Vogel, B., and Zhang, Y.: Online coupled regional meteorology chemistry models in Europe: current status and prospects, Atmos. Chem. Phys., 14, 317–398, https://doi.org/10.5194/acp-14-317-2014, 2014.
- Alexander Baklanov, Yang Zhang, Advances in air quality modeling and forecasting, Global Transitions, Volume 2, 2020, Pages 261-270, ISSN 2589-7918, https://doi.org/10.1016/j.glt.2020.11.001.





- Seinfeld J.H. and Pandis S.N. Atmospheric Chemistry and Physics: From Air Pollution to Climate Change (2nd Edition). New Jersey: John Wiley & Sons Inc., 2006. 1232 p.
- Берлянд М.Е. Прогноз и регулирование загрязнения атмосферы. Л.: Гидрометеоиздат, 1985. 272 с.
- Haywood, J. & Boucher, Olivier. (2000). Estimates of the direct and indirect radiative forcing due to tropospheric aerosols: A review. Reviews of Geophysics. 38. https://doi.org/10.1029/1999RG000078.





- Vogel, B., Vogel, H., Bäumer, D., Bangert, M., Lundgren, K., Rinke, R., Stanelle, T. (2009), The comprehensive model system COSMO-ART Radiative impact of aerosol on the state of the atmosphere on the regional scale, Atmos. Chem. Phys., 9, 8661-8680, https://doi.org/10.5194/acp-9-8661-2009.
- Vogel, B., Ferrone, A., Schad, T. (2013): Reducing the Uncertainties of Climate Projections: High-Resolution Climate Modeling of Aerosol and Climate Interactions on the Regional Scale Using COSMO-ART, High Performance Computing in Science and Engineering '13 2013, 553-555, https://doi.org/10.1007/978-3-319-02165-2_38.





- Вильфанд Р.М., Кирсанов А.А., Ревокатова А.П., Ривин Г.С., Суркова Г.В. Прогноз перемещения и трансформации загрязняющих веществ в атмосфере с помощью модели COSMO-ART // Метеорология и гидрология. − 2017. − № 5. − С. 31-40. https://doi.org/10.3103/S106837391705003X.
- Ривин Г. С., Вильфанд Р. М., Киктев Д. Б., Розинкина И. А., Тудрий К. О., Блинов Д. В., Варенцов М. И., Самсонов Т. Е., Бундель А. Ю., Кирсанов А. А., Захарченко Д. И. Система численного прогнозирования явлений погоды, включая опасные, для Московского мегаполиса: разработка прототипа // Метеорология и гидрология. 2019. —№ 11. —С. 33–45. https://doi.org/10.3103/S1068373919110025.
- Revokatova A.P., Kislov A.V., Surkova G.V., Kirsanov A.A., Rivin G.S., Vogel B., Vogel H. Short-Term Forecast of the Carbon Monoxide Concentration Over the Moscow Region by COSMO-ART // Pure and Applied Geophysics. 2019. 176 P. 885–899. https://doi.org/10.1007/s00024-018-2001-z.





- Chubarova N.E., Vogel H., Androsova E.E., Kirsanov A.A., Popovicheva O.B., Vogel B., Rivin G.S. Columnar and surface urban aerosol in the Moscow megacity according to measurements and simulations with the COSMO-ART model // Atmospheric Chemistry and Physics. 2022. № 22. pp. 10443–10466. http://dx.doi.org/10.5194/acp-22-10443-2022.
- Chubarova N.E., Androsova E.E., Kirsanov A.A., Varentsov M.I., Rivin G.S. Urban aerosol, its radiative and temperature response in comparison with urban canopy effects in megacity based on COSMO-ART modelling // Urban Climate, Volume 53, 2024, 101762, ISSN 2212-0955, https://doi.org/10.1016/j.uclim.2023.101762.
- Varentsov, M.; Samsonov, T.; Demuzere, M. Impact of Urban Canopy Parameters on a Megacity's Modelled Thermal Environment. Atmosphere 2020, 11, 1349. https://doi.org/10.3390/atmos11121349.





- Кузнецова И.Н., Нахаев М.И., Кирсанов А.А., Борисов Д.В., Ткачева Ю.В., Ривин Г.С., Лезина Е.А. Тестирование и перспективы технологии прогнозирования загрязнения воздуха с применением химических транспортных моделей СНІМЕRE и COSMO-Ru2ART // Гидрометеорологические исследования и прогнозы. —2022. —№ 4 (386). —С. 147-170. DOI: https://doi.org/10.37162/2618-9631-2022-4-147-170.
- Кузнецова И.Н., Шалыгина И.Ю., Нахаев М.И., Ткачева Ю.В., Ривин Г.С., Кирсанов А.А., Борисов Д.В., Лезина Е.А. Система прогнозирования качества воздуха на основе химических транспортных моделей // Гидрометеорологические исследования и прогнозы. 2019. № 4 (374). С. 203-218.
- Кузнецова И.Н., Шалыгина И.Ю., Нахаев М.И., Глазкова А.А., Захарова П.В., Лезина Е.А., Звягинцев А.М. Неблагоприятные для качества воздуха метеорологические факторы // Труды Гидрометцентра России. 2014. Вып. 351. С.154-172.





- Wooster, M. J.; Roberts, G.; Perry, G.L.W.; Kaufman Y.J. Retrieval of biomass combustion rates and totals from fire radiative power observations: FRP derivation and calibration relationships between biomass consumption and fire radiative energy release. J. Geophys. Res. 2005, 110, 24 p. https://doi.org/10.1029/2005JD006018.
- Kaiser, J.W.; Heil, A.; Andreae, M.O.; Benedetti, A.; Chubarova, N.; Jones, L.; Morcrette, J.-J.; Razinger, M.; Schultz, M.G.; Suttie, M.; van der Werf, G.R. Biomass burning emissions estimated with a global fire assimilation system based on observed fire radiative power. Biogeosciences 2012, 9. 527-554. https://doi.org/10.5194/bg-9-527-2012.
- Wiedinmyer, C.; Akagi, S.K.; Yokelson, R.J.; Emmons, L.K.; Al-Saadi, J.A.; Orlando, J.J.; Soja, A.J. The Fire INventory from NCAR (FINN): a high resolution global model to estimate the emissions from open burning. Geosci. Model Dev. 2011, 4, 625-641. https://doi.org/10.5194/gmd-4-625-2011.





- Xin Kong, Renate Forkel, Ranjeet S. Sokhi, Peter Suppan, Alexander Baklanov, Michael Gauss, Dominik Brunner, Rocio Barò, Alessandra Balzarini, Charles Chemel, Gabriele Curci, Pedro Jiménez-Guerrero, Marcus Hirtl, Luka Honzak, Ulas Im, Juan L. Pérez, Guido Pirovano, Roberto San Jose, K. Heinke Schlünzen, George Tsegas, Paolo Tuccella, Johannes Werhahn, Rahela Žabkar, Stefano Galmarini, Analysis of meteorology—chemistry interactions during air pollution episodes using online coupled models within AQMEII phase-2, Atmospheric Environment, Volume 115, 2015, Pages 527-540, ISSN 1352-2310, https://doi.org/10.1016/j.atmosenv.2014.09.020.
- Kirsanov A.A., Rozinkina I.A., Rivin G.S., Zakharchenko D.I., Olchev A.V. Effect of Natural Forest Fires on Regional Weather Conditions in Siberia. // Atmosphere. 2020. Vol. 11, №10. P. 1133. ISSN: 2073-4433, https://doi.org/10.3390/atmos11101133.